## АНОМАЛЬНЫЕ ИНТЕНСИВНОСТИ ЛИНИЙ ВОДОРОДА **В СПЕКТРЕ НО 152107**

В течение трех сезонов в КрАО АН СССР нами наблюдались спектры магнитных пекулярных А-звезд. Во время обработки материала было обнаружено резко аномальное поведение ряда линий поглощения бальмеровской серии водорода. Эти особенности наблюдались в интенсивностях линий в трех случаях из большой серии наблюлений магнитной звезды 52 Her = HD 152107 (см. рис. 1).

Наблюдения проводились в 1962, 1963 и 1967 гг. (табл. 1) в течение летних месяцев на дифракционном спектрографе 1220 им рефлектора

	W. C		Таблица 1
Период на-	Обратная дис-	Количество	Средняя
баюдений	персия в А/мм	спектрограмм	выдержка
Апрель-июль	36.3	14	10 <sup>m</sup>
1962 г.	15.3	27	1 <sup>h</sup> — 1 <sup>h</sup> . 5
Июнь-июль	36.3	18	1 <sup>h</sup> —1 <sup>h</sup> .5
1963 г.	15.3	27	
Июнь-июль 1967 г.	15.3	18	30 <sup>m</sup>

Крымской астрофизической обсерватории. Положение дифракционной решетки варьировалось. Спектрограммы получались в первом (обратная дисперсия 36.3 Å/мм) и втором (обратная дисперсия 15.3 Å/мм) порядках спектра на фотопластинках Kodak 103а — О. Средняя выдержка в первом порядке была  $10^{\rm m}$ , во втором —  $1^{\rm h}$  —  $1^{\rm h}$ 5 в зависимости от угла наклона решетки. Ширина щели спектрографа была 10.3 мм, это соответствует в изображении на фотопластинке 0.022 мм. Спектр расширялся до 0. 25 мм. Калибровка спектрограмм осуществлялась в лаборатории с помощью ступенчатого ослабителя на спектрографе ИСП -- 51. Отобранные спектрограммы регистрировались на микрофотометре МФ-2, последний был модифицирован в саморегистрирующий. Записи спектров сделаны с увеличением в 107<sup>х</sup> и 20°. Некоторые спектры были также записаны на микрофотометре в прямых интенсивностях в КрАО АН СССР.

Среди всего полученного материала (примерно 100 спектрограмм) удалось обнаружить, как указано выше, 3 спектра с аномально усиленными линиями поглощения  $H_{\mathfrak{s}}$ ,  $H_{12}$ ,  $H_{13}$ ,  $H_{14}$  бальмеровской серии водорода (по сравнению с другими линиями водорода в спектре). Альтернативно возможно, что линии Не, Н12, Н14, Н14 являются нормальными, а остальные линии водорода ослаблены. Линии H<sub>15</sub> и H<sub>16</sub>

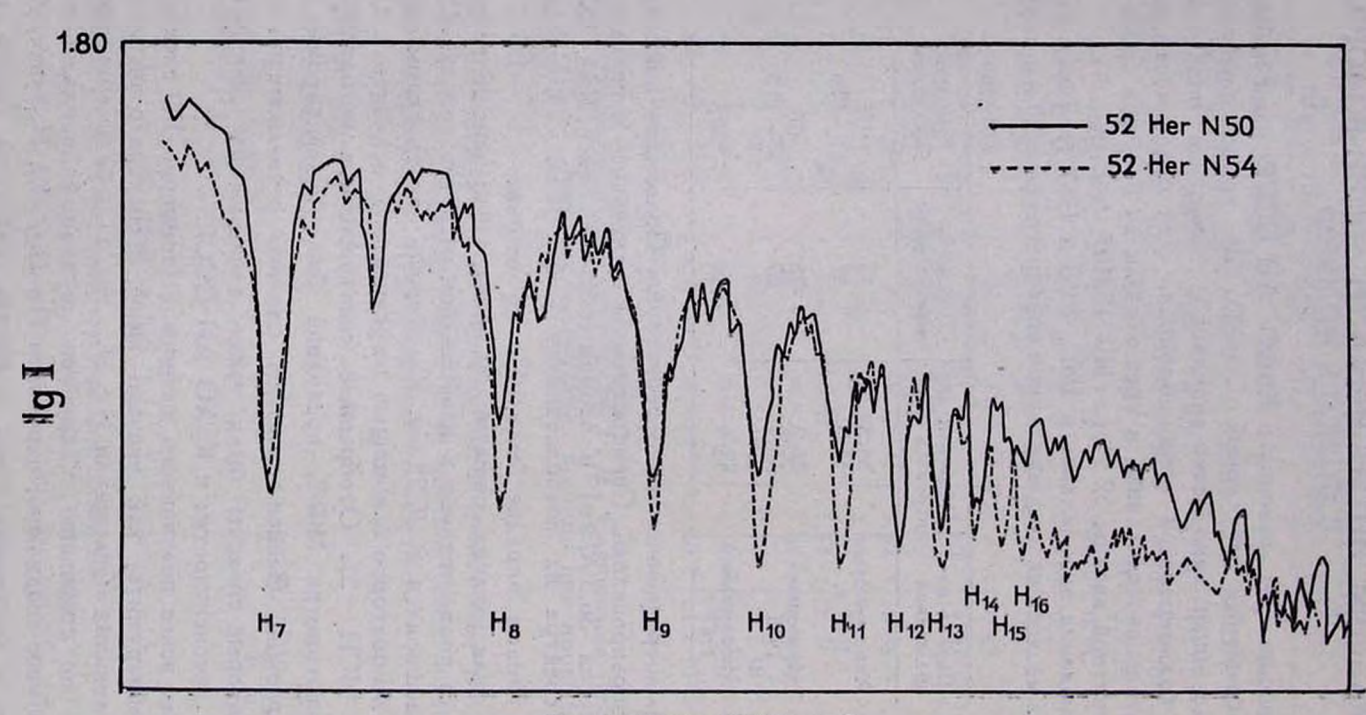


Рис. 1. Спектр 52 Her в lg I,

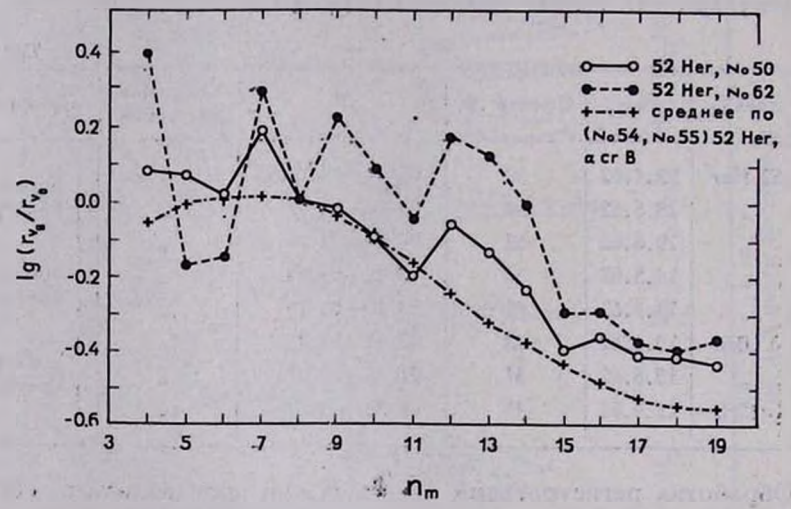
практически сливаются, а непрерывный спектр в этой области деформирован, во всяком случае, по сравнению с обычным видом спектра данной звезды и звезд сравнения. В этих необычных спектрах бальмеровский скачок почти исчезает, а линии в ультрафиолетовой части спектра усиливаются. При этом аномальные деталя в спектрах хорошо повторяются в трех обнаруженных случаях.

Ниже в табл. 2 приведены данные наблюдений аномальных и некоторых обычных фаз развития спектров звезды 52 Her и звезд сравнения. По каталогу Бабкока магнитная звезда 52 Her относится к группе  $\gamma$ -магнитно-переменных. Это означает, что она имеет иррегулярную амплитуду и постоянную полярность магнитного поля (He ot + 840 до + 1430 гаусс), спектральный класс A2p-A4p. Потипу пекулярности звезда является стронциевой (Sr, Eu).

Таблица 2 Обратная CHERTP No Звезда Дата  $\boldsymbol{\tau}$ Примечания дисперсия 05h14m-05h26m 22.4.62 52 Her 50 1 36.3 Å/мм аномальный 18.5.62 04 40-04 46 2 56 CHERTD 19.6.62 62 04 19-04 26 3 14.5.62 4 54 03 44-03 52 обычный CHERTD. 5 13.5.62 55 03 10-03 19 19.4.62 6 00 41-00 47 λUMa 48 спектры. 7 15.6.62 21 58-22-04 61 сравнения 8 a CrB 19,4,62 49 03 34-03 37

Обработка регистрограмм и вычисления производились обычным способом (по индивидуальным характеристическим кривым). Ввиду необычного поведения линий водорода в аномальных спектрах исследуемой звезды, спектрограммы были тщательно просмотрены на предмет обнаружения возможных дефектов, а также несколько раз записаны на различных микрофотометрах с различными увеличениями и различными щелями микрофотометра. Однако мы убедились, что аномалии уверенно обнаруживаются на спектрах в виде реального явления. При этом предварительно на микрофотометре в прямых интенсивностях было проведено исследование влияния ширины щели микрофотометра на глубину линии в спектре. Было найдено,, что щель микрофотометра можно брать примерно 750/0 от нормальной. В данном случае это условие было выполнено. Для случая спектрограмм № 50 и № 62 фон пластинки был записан с двух сторон от опектра вдоль всей его длины. При обработке данных спектров был также применен.

"ЭДИНБУРГСКИЙ МЕТОД" ОБРАБОТКИ СПЕКТРОВ ДЛЯ ПОДТВЕРЖДЕНИЯ РЕЗЪРНОСТИ ДАННЫХ АНОМАЛИЙ. РЕЗУЛЬТАТЫ ВЫЧИСЛЕНИЙ ПО ВСЕМ ЗАПИСЯМ И МЕТОДАМ УСРЕДНЯЛИСЬ И СТРОИЛИСЬ ЗАВИСИМОСТИ Ig — ОТ  $n_{10}$  ( $n_{10}$  — КВАНТОВОЕ ЧИСЛО ВЕРХНЕГО УРОВНЯ ВОДОРОДА) ДЛЯ 52 Her, 2CrB (см. рис. 2). Измерения показали, что в единицах эквивалентной ширины аномалия выявляется слабее, чем в остаточных интенсивностях, где усиление оказывается порядка 1.5—2.5 раза. Вполне вероятно, что обнаруженные аномалии связаны с отклонением от термодинамического равновесия и, возможно, обусловлены, в свою очередь, селективным возбуждением (или, наоборот, девозбуждением) атомов водорода. Несомненно, что немалую роль в этом вопросе играют переменные электромагнитные поля в атмосферах звезд. Наличие аномалий в ин-



тенсивностях линий не повволило определить  $n_m$ ,  $\lg n_e$  и т. д. обычным образом.

В настоящее время производится дальнейшая обработка всего материала и делаются попытки выявления других аномалий или закономерностей в спектре звезды 52 Her, а также в других подобных объектах.

В заключение автор выражает благодарность О. А. Мельникову за помощь в работе и дискуссию результатов, а также администрации и сотрудникам КрАО АН СССР за предоставленную возможность наблюдений и помощь в работе.

The abnormal line intensities in the hydrogen spectrum of HD 152107. The abnormal dependence of the central line intensities in the Balmer series with the upper quantum number  $n_{\rm m}$  in the region of the Balmer lines  $H_{\rm T}$ ,  $H_{\rm 12}-H_{\rm 14}$  and also near the Balmer discontinuity is revealed in the spectra of the magnetic variable star HD 152107.

27 февраля 1968 ГАО АН СССР

т. и. кузнецова

## О НЕКОТОРЫХ СВОЙСТВАХ РАДИОГАЛАКТИК

Согласно представлениям, выдвинутым В. А. Амбарцумяном, образование радиогалактик является одной из форм проявления космогонической активности, присущей ядрам галактик [1]. Ядра радиогалактик обладают способностью выбрасывать вещество, возможно, в дозвездном состоянии, которое превращается в радиоизлучающие облака, содержащие релятивистские частицы и магнитные поля. Ядро радиогалактики может выбросить одно или несколько таких дозвездных тел. Обычно, по-видимому, более или менее одновременно выбрасываются два дозвездных тела в противоположных направлениях. Настоящая работа посвящена изучению зависимости свойств радиоизлучающих облаков от их расстояния до ядра генетически связанной с ними радиогалактики.

В работе использованы данные о структуре радиооблаков, приведенные в [2]. По радиоизофотам вычислены  $\phi$  — угловые расстояния центров радиоизлучающих облаков от радиогалактики и отношения  $\omega_1/\phi$  и  $\omega_\tau/\phi$  где  $\omega_1$  и  $\omega_\perp$  — оценки [2] угловых размеров радиооблаков, соответственно, в направлении большой и малой осей. Вычислены также соответствующие  $\phi$  линейные расстояния r.

Все рассматриваемые радиоисточники распределены по пяти группам, со следующими значениями  $\lg r$ : 0.75  $\div$  1.45, 1.45  $\div$  1.70, 1.70  $\div$  1.95, 1.95  $\div$  2.20, 2.20  $\div$  2.45, где r выражено в кпс.

Отметим, не входя в подробности, что для устранения наблюдательной селекции в настоящей работе использованы только радиоисточники со спектральной плотностью потока на частоте 1407~Miy не ниже  $10^{-26}~sm/m^2iy$  и с расстояниями в пределах от 200~do~700~Mnc. Кроме того, в каждой из указанных выше групп ставится требование по крайней мере 50 процентного превышения поверхностной яркости радиоисточника над яркостью радиофона.